- [7] 霍华.彩色多普勒超声在肾母细胞瘤诊断中的应用[J].中国中西 医结合影像学杂志,2017,15(5):573-575.
- [8] Ahuja AT, Ying M, Ho SY, et al. Ultrasound of malignant cervical

lymph nodes[J].Cancer Imaging, 2008, 8(1):48.

[9] 何英,杨裕佳,雷蕾,等.神经母细胞瘤超声诊断及图像分析[J]. 中华医学超声杂志(电子版),2013,10(4):318-321.

(收稿日期:2020-12-21)

• 病例报道•

Ultrasonic diagnosis of right-sided aortic arch with Kommerell diverticulum and thrombosis; a case report 超声诊断右位主动脉弓伴 Kommerell 憩室并血栓 1 例

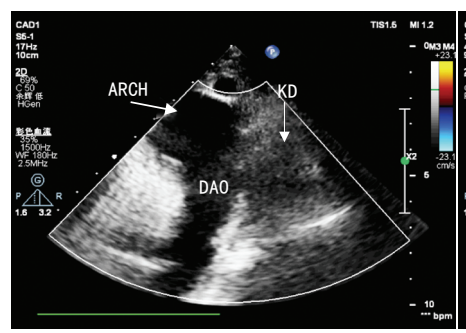
黄晓凤

[中图法分类号]R445.1

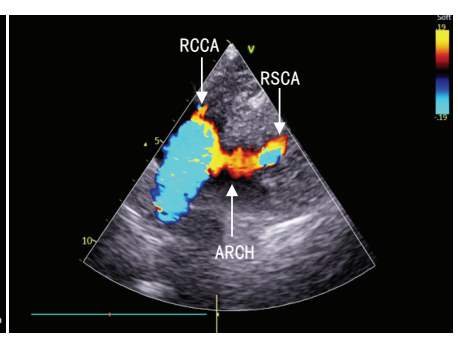
「文献标识码]B

患者女,66岁,因"反复呕吐20⁺d,复发加重2d"入院。既往 有反复发作的喘息病史。体格检查:右上肢血压134/104 mm Hg (1 mm Hg=0.133 kPa), 左上肢血压 73/60 mm Hg。超声心动图 检查:主动脉弓呈右位,降主动脉沿中线右侧迂曲下行,可见左 侧颈总动脉、右侧颈总动脉、右侧锁骨下动脉依次从主动脉弓 发出,左侧锁骨下动脉起自降主动脉起始处左侧,起始处明显 膨大、呈瘤样改变(范围约53 mm×38 mm),其内见低回声团块 充填;CDFI于其内未探及明显血流信号。见图1~4。超声心动 图提示:右位主动脉弓,迷走左锁骨下动脉伴Kommerell憩室并 血栓形成。颈部血管超声检查:左侧椎动脉血流完全反向,左侧

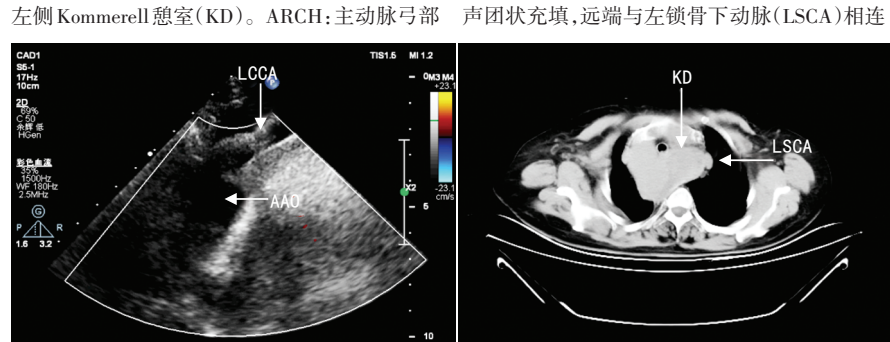
锁骨下动脉远端呈低速、低阻型频谱(峰值血流速度 0.29 m/s, 阻力指数0.64)。颈部血管超声提示:结合超声心动图所见,符 合左侧锁骨下动脉完全型盗血。胸部平扫CT检查:主动脉弓 呈右位,降主动脉沿脊柱右侧下行,主动脉弓左缘局部向外膨 隆(范围约50 mm×38 mm),内密度不均,可见锁骨下动脉由此 发出。见图 5。增强 CT 检查: 主动脉弓呈右位, 主动脉弓左缘 呈囊袋样突出,无造影剂充盈;血管重建示左侧颈总动脉、右侧 颈总动脉、右侧锁骨下动脉依次从主动脉弓发出。见图6。平扫 CT及增强CT提示:右位主动脉弓,主动脉Kommerell憩室伴附 壁血栓形成。



胸骨上窝切面示降主动脉(DAO)起始部 图2 胸骨上窝切面示Kommerell憩室内见低回 图3 胸骨上窝切面示主动脉弓(ARCH)发出右



侧锁骨下动脉(RSCA)及右侧颈总动脉(RCCA)



升主动脉(AAO)发出

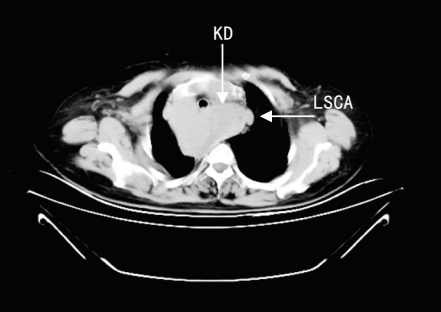


图 4 胸骨上窝切面示左侧颈总动脉(LCCA)由 图 5 平扫CT示降主动脉起始部左侧Kommerell 图 6 增强CT血管重建图示左侧颈总动脉(LCCA)、 憩室(KD)及左锁骨下动脉(LSCA)



右颈总动脉(RCCA)、右锁骨下动脉(RSCA)依 次从主动脉弓发出

作者单位:610036 成都市第三人民医院心研所 通讯作者:熊峰,Email:xiong.feng05@163.com

讨论:右位主动脉弓伴起源于Kommerell 憩室的迷走左锁 骨下动脉是一种少见的主动弓及弓上分支的先天变异,发生率 约为0.04%~0.40%[1]。正常情况下,胚胎期左侧第四主动脉弓 参与成人主动脉弓的形成,如左侧第四主动脉弓异常退化消失 而右侧第四主动脉弓保留,则形成成人右侧主动脉弓,左侧锁 骨下动脉连接弓部处由残余的背主动脉形成,较为粗大,形成 憩室样改变。该型头臂动脉发出顺序一般为左颈总动脉、右颈 总动脉、右锁骨下动脉、左锁骨下动脉,本例患者主动脉弓分支 发出顺序与文献^[2]报道一致。Kommerell 憩室及迷走锁骨下动 脉可对走行区域的气管、食管产生相关压迫症状。本病例青年 时即有反复发作的喘息病史,可能与该憩室压迫刺激气道相 关。Kommerell 憩室并发血栓者目前仅数个个案报道[3-5]。本 病例超声心动图经胸骨上窝切面探查发现主动脉弓位于中线 右侧,经仔细探查发现4根分支,且左锁骨下动脉发出位置异 常,由膨大的憩室部发出,憩室内见低回声团块完全充填,结合 患者左侧锁骨下动脉盗血,最终诊断 Kommerell 憩室并血栓形 成致左锁骨下动脉盗血,为临床诊断及决策提供重要依据。本 病例中平扫CT明确了憩室与主动脉弓及左锁骨下动脉的关 系,但增强CT由于造影剂未能进入被血栓完全充填的憩室,导 致血管重建图像不能显示憩室结构。可见,超声对于该病引起 的继发血流动力学改变的检测具有优势。

治疗上,目前共识是当憩室对邻近结构产生压迫症状时需进行干预,对于无症状患者,建议憩室开口直径达3 cm或Kommerell憩室相关动脉瘤直径达到5 cm时进行干预[6]。以外

科手术、介入和杂交手术三种治疗方式为主,有压迫症状的患者首选外科手术^[1]。

参考文献

- [1] Tanaka A, Milner R, Ota T.Kommerell's diverticulum in the current era: a comprehensive review [J]. Gen Thorac Cardiovasc Surg, 2015, 63(5):245-259.
- [2] Yang C, Shu C, Li M, et al. Aberrant subclavian artery pathologies and Kommerell's diverticulum: a review and analysis of published endovascular/hybrid treatment options [J]. J Endovasc Ther, 2012, 19(3):373-382.
- [3] Vlummens P, Houthoofd B, Janssens W. Thrombosis of an arteria lusoria with secondary subclavian steal syndrome and swallowing difficulties[J].J Belg Soc Radiol, 2015, 99(2):80-84.
- [4] Faggioni L, Gabelloni M, Napoli V, et al. Thrombosis of Kommerell's diverticulum with subclavian steal phenomenon in a patient with non-small cell lung carcinoma under chemotherapy [J]. Eur J Radiol Open, 2016, 3(1):191-194.
- [5] Onishi N, Komaki T, Nakamura M, et al. A rare case of submassive pulmonary embolism with a right aberrant subclavian artery and thrombosed Kommerell diverticulum [J]. Intern Med, 2020, 59 (15): 1861–1865.
- [6] Vinnakota A, Idrees JJ, Rosinski BF, et al. Outcomes of repair of Kommerell diverticulum [J]. Ann Thorac Surg, 2019, 108 (6): 1745-1750.

(收稿日期:2021-08-16)

• 病例报道 •

Contrast-enhanced ultrasonic manifestations of hepatic malignant mesothelioma: a case report 肝脏恶性间皮瘤超声造影表现1例

张 玥 蔡迪明

[中图法分类号]R445.1;R735.7

「文献标识码]B

患者男,59岁,因体质量减轻1个月,外院发现肝脏占位 (考虑肝囊腺瘤)来院就诊。体格检查:皮肤巩膜无黄染,腹部外

形正常,全腹软,无压痛及反跳痛,腹部未触及包块,肝脏肋下未触及,脾脏肋下未触及,双肾未触及。实验室检查:乙肝两对半(HBsAb阳性,HBeAb,HBsAg,HBeAg,HBcAb均呈阴性),高精度乙肝病毒载量扩增阴性,血红蛋白低(77 g/L),甲胎蛋白、癌胚抗原、CA19-9、异常凝血酶原均属正常范围,CA-125高(31.20 U/ml)。超声检查:肝脏右叶可见大小约16.2 cm×16.1 cm的巨大囊实混合回声团块,边界清楚,形态规则,壁较薄,团块内可见厚壁分隔和大片状无回声、弱回声区;CDFI于实

性成分内可探及少许点线状血流信号,右肝静脉受压。见图1。超声造影检查:动脉相实性成分呈分隔样、不均匀强化,门脉相



A:二维超声示囊实混合回声团块,其内可见分隔和片状无回声及弱回声区;B:CDFI于团块内可探及点线状血流信号

图1 肝脏恶性间皮瘤声像图